

G P S 利用全電子数測定装置を用いての 単周波V L B I 電離層補正

関東支所 宇宙電波応用研究室

近藤哲郎、雨谷 純、小山泰弘、今江理人

1. はじめに

現在行われている測地V L B Iでは2周波数帯を受信することによって電離層で生じる遅延を補正している。この電離層補正が他の方法で可能ならばV L B I局としては単周波数帯のみの受信で良いことになり小型で可搬性に優れたV L B I局実現のためにははなはだ都合がよい。機動性に優れた車載局が実現すれば緊急を要する地殻変動観測の場合に、すみやかに移動し、測定が可能となり、G P Sによる精密測位の基準点となることが可能であろう。一方、G P S衛星は電離層の影響を取り除くために自ら2周波数帯で電波を放射しており、システムの普及に伴いこの衛星からの電波を利用して地球電離層の全電子数（単位底面積の円柱に含まれる全電子数：T E C）を精度よく測る装置が開発され（例えばRoyden et al., 1984^[1]）安価に入手できるようになってきた。当所でもG P S衛星を利用した全電子数測定装置が開発され^{[2][3]}、（株）日本通信機からRealtime TECMETER Model 7633として市販化されている。

こうしたG P S衛星利用T E C測定装置で求めたT E Cの単周波V L B Iへの応用の可能性を探るために2周波V L B I観測との同時観測を何度か実施している。両者で測定されるT E Cを比較することにより適用の可能性が評価できるが一般にはG P S衛星の方向とV L B Iで観測する電波星方向は異なるため単純に両者の比較を行うことができない。そのため何らかの方法で全電子数データを電波星方向に投影する必要がある。この方法が確立されればG P S衛星を利用しての電離層観測にも役立てることができる。投影法の簡単なモデルについてはすでに第412, 419, 421回談話会で報告してきた^{[4][5][6]}が、今回モデルの改良を含めて総合的に検討を行った。

2. 種々のマッピング法

G P S衛星方向と電波星方向は一般に異なる。電波星方向のT E Cを求めるにG P S衛星方向に対して求められたT E Cを何らかの方法で変換（ここではこの変換のことをマッピングと呼ぶことにする）する必要がある。一般的にはある地点Pを中心とした天球内でのT E C分布を直接にモデル化する方法（ここでは直接法と呼ぶ）とPを中心とした地理的なある範囲内での垂直T E C分布をモデル化した後、そこでの入射角に応じた補正係数をかけてP点から観測されるT E Cに変換する方法（間接法と呼ぶ）の2つが考えられる。

直接法はP点を中心とした方位角A_Z、仰角E_Iおよび時刻tの関数としてT E Cを

$$T E C = f(AZ, EL, t) \quad (1)$$

と表すことである。

間接法はP地点から見たある視線方向と電離層の交差点の緯度、経度をλ、φとして

$$T E C = S(EL) g(\lambda, \phi, t) \quad (2)$$

と表すことである。ここでgは垂直T E Cの時刻tにおける空間分布、S(EL)は経路長の仰角依存性を示している。今回の報告では電離層を高度hの無限小の厚さの

球面と考えて、

$$S(EI) = 1.0 / \cos(\sin^{-1}(R_E \cos EI / (R_E + h))) \quad (3)$$

としている。さらに簡単化のため h を 300 km に固定した（したがって P 点の A_z , EI から λ , ϕ は一意的に求められる）。

f または g をある数式モデルで表し、TECMETERでの観測値から数式モデルを記述するパラメータを求めることができればここで言うマッピングができたことになる。時刻 t における観測値が天球上で十分な数で一様に分布していれば直接法でも間接法でも十分に精度の良いマッピングが可能であろう（極端に言えば電離層に対しての知識が無くても観測値の簡単な内挿のみで高精度のマッピングができる）。しかしながら現実は一度に見えるGPS衛星の数はたかだか4個か5個であり、時間によっては1個も見えなかったり、ある狭い範囲内に限られていたりするこうした限られたデータから高精度のマッピングを行うには電離層に対する知識を積極的に活用することが必要であり（電離層のある高度の層で代表させているのもその1つである）、定常状態での電離層の緯度依存性や太陽、地球を軸とする座標系を考えた場合にほぼ固定した構造を持っているであろうという先駆的な情報は間接法の方が組み込みやすい。例えば、間接法に現われてくるパラメータの内、経度と時刻を合わせて1つの地方時というパラメータで考えると太陽、地球軸に固定した座標系（つまり日周変動）を考えていることになる。これらを踏まえて今回、直接法および間接法での現実的な数式モデルをいくつか考えてみた。

【直接法】

モデルA

仰角依存性のみを考えたもっとも簡単なモデルは

$$TEC = N_o(t) S(EI) \quad (4)$$

である。ここで $N_o(t)$ は P 点の天頂方向の TEC であり、求めるパラメータも $N_o(t)$ である。推定に用いるデータ数を増やすために $N_o(t)$ をある時間範囲内（ここでは2時間とした）で一定とする。

モデルB

モデル A に対して方位角依存性を補正項として加える。天頂においてなめらか（1次導関数まで連続）であり、最小限のパラメータの増加に押させて、

$$TEC = N_o(t) S(EI) + (90^\circ - EI) (A(t) \cos Az + B(t) \sin Az) \quad (5)$$

とモデル化することができる。未知数（パラメータ）は $N_o(t)$, $A(t)$, $B(t)$ である。モデル B をもっと一般化すると、球面調和関数による表現となるが、データ数の制限から(5)式あたりが現実的な所と思われる。モデル A と同様にパラメータはある時間範囲内（2時間）で一定とする。

【間接法】

モデルC

TECMETERで観測する緯度範囲の内ある緯度 λ を中心とした $\Delta\lambda$ の範囲の TEC 日変化をフーリエ級数で表す。

$$\begin{aligned} TEC &= S(EI) g(t) \\ &= S(EI) \{ a_0 + \sum_{m=1}^M (a_m \cos 2\pi m t + b_m \sin 2\pi m t) + c_0 t \} \quad (6) \end{aligned}$$

ここで t は日単位で表した時刻である。 $\{ \}$ 内の最後の項は日周成分以外をモデル化するための項である。未知パラメータは a_0, a_m, b_m, c_0 。これらのパラメータを緯度毎に決定することにより TECMETER で観測する緯度範囲をカバーする。現実的には 1 日周期とその 4 倍の高調波程度までを考えればよい近似となるため^[7]、 $M=4$ とする。必要に応じて、緯度方向への内挿を行う。モデル C を一般化すると地球表面内のある帯状の範囲内の垂直 TEC の球面調和関数による表現となる。

モデル D

TECMETER で観測する緯度範囲 $\lambda_1 \sim \lambda_2$ の地球表面の帯状の領域を有する地方時範囲の領域に分割しその領域毎の TEC を 2 変数の多項式で表す。

$$TEC = S(EI) g(\lambda, LT) = S(EI) \sum_{n=0}^N \sum_{m=0}^M p_{nm} \lambda^n LT^m \quad (7)$$

ここで LT は地方時である。未知パラメータ p_{nm} を地方時の領域毎に求める。とりあえず 2 次までを考える（このモデルは Lanyi and Roth, 1988^[8] とほぼ同じモデルである）。

以上 4 つのモデルについてパラメータを最小二乗フィッティングで求める。実際の観測方程式としては、衛星毎のオフセットおよび TECMETER 自体のオフセットも未知パラメータとして組み込む。すなわち、TECMETER で観測される TEC は

$$TEC_1 = TEC + O_s + O_i \quad (8)$$

と表せる。ただし、右辺の TEC はモデル A から D、 O_s は衛星で生じるオフセット（ s は衛星の区別）、 O_i は TECMETER 側で生じるオフセット（ i は観測器の区別）を表す（今回 O_s はデータ数の制約から推定を行っていない）。

3. 各種モデルの比較結果（モデル D を除く）

各種モデルで得られた電波星方向の TEC 2 周波 VLB で観測される電離層での遅延補正量と比較した。VLB 基線の両端局 1 および 2 で GPS 観測結果からマッピングした TEC を TEC_1 、 TEC_2 とすると

$$\Delta \tau_{\text{comp}} = 1.34 \times 10^{-7} \cdot (TEC_2 - TEC_1) / f^2 \quad (\text{sec}) \quad (2)$$

ここで f : X バンド受信周波数 (Hz)

で VLB 観測からえられる遅延補正量に相当する遅延を計算できる。モデルから求めた遅延補正量と VLB 観測から得られる遅延補正量を比較することによりモデルの良否を判定することにする。図 1 に各モデルの比較を示す（機器定数は 1 日の平均値としてあらかじめ推定した値を用い、かくモデルごとに固定した機器定数を使用している）。比較に使用した実験は 1989 年 12 月 6 日に実施した鹿島ー父島基線実験（基線長約 1000 km）（図 の左列）と 1990 年 6 月 30 日に実施した鹿島ー南鳥島実験（基線長約 2000 km）（図 の右列）である。今回モデル D のプログラム開発が間に合わなかったのでモデル A から C までの比較を行っている。図 の上段はモデル A、中段は B そして下段は C を示す。それぞれの図の横軸は VLB 観測から得た遅延補正量、縦軸は GPS 観測から得た遅延補正量である。図中の破線は両者の関係を直線近似した場合を示す。比較のために傾き 45° の直線で近似した場合を点線で示す。

よいモデルは直線近似の勾配および残差から判定できるが（1）破線の勾配が点線すなわち 45° に近く（2）直線近似後の残差のばらつきが小さい、ほど良いモデルといえる。モデル A は鹿島ー南鳥島実験時は良いモデルとなっているが、鹿島ー父島実験ではそれほど良いモデルとはなっていない。モデル B は鹿島ー父島実験

ではモデルBに比べて良くなっているが、逆に鹿島－南鳥島実験に対しては悪化している。これらに比べてモデルCは両者に対して良い結果を与えるモデルということができる。

4. まとめ

実際にV L B Iの電離層補正に適用するには実験の条件に余り依存しない、モデルCが適していると言えよう。モデルDは今回、結果が間に合わなかったが、モデルCと同等程度か時間帯によってはそれ以上よい結果が得られるかも知れない。いずれにしても、直接法よりも間接法の方が適用範囲が広そうである(G P S観測方法を電離層観測に応用するためにも間接法が適している)が、条件によっては直接法の方が良い場合もありそうである。そこで単周波V L B Iへの応用に限れば両者を混合した実用的モデルも検討する必要があるだろう。

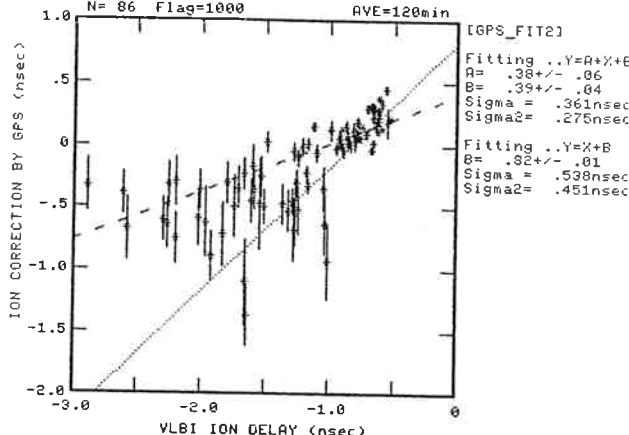
参考文献

- [1] Royden,H.N.,R.B.Miller, and L.A.Buennagel,"Comparison of NAVSTAR satellite L band ionospheric calibrations with Faraday rotation measurements", Radio Sci., 19, 798-804, 1984.
- [2] 今江理人、三木千紘、高橋富士信「2周波相関方式高精度G P S受信装置－電離圏全電子数測定と精密測位への応用－」、第77回通信総合研究所研究発表会予稿、1989、11月。
- [3] 三木千紘、今江理人、「スペクトル逆拡散を利用した電離層伝播遅延時間測定法」、021202、昭和63年。
- [4] 近藤哲朗、雨谷 純「単周波数帯V L B Iの電離層補正について－その3」、第412回研究談話会資料、1989、7月。
- [5] 近藤哲朗、今江理人、雨谷 純、金子明弘「G P S衛星を用いてのV L B I電離層補正」、第419回研究談話会資料、1989、12月。
- [6] 近藤哲朗、今江理人、雨谷 純、金子明弘、松坂 茂、飛田幹男「G P S衛星利用全電子数測定結果とV L B Iで得られた全電子数の比較」、第421回研究談話会、1990、2月。
- [7] Kondo,T. and S.Hama,"Estimation of total electron content using very long baseline interferometer", Proc.NIPR Symp.Upper Atmos.Phys., 3, 96-104, 1990.
- [8] Lanyi,G.E. and T.Roth,"A comparison of mapped and measured total ionospheric electron content using global positioning system and beacon satellite observations", Radio Sci., 23, 483-492, 1988.

鹿島 - 父島

(DEC. 6, 1989)

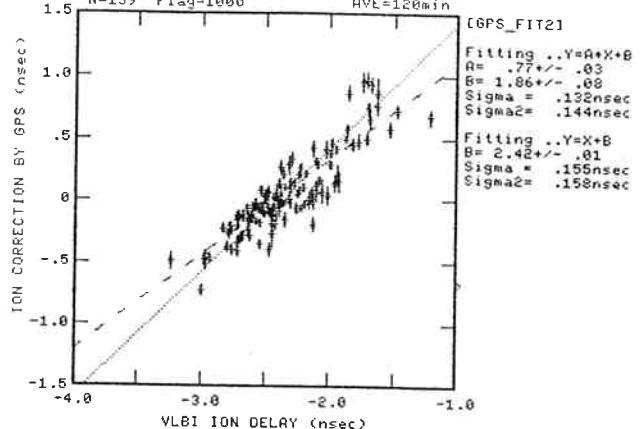
TITIJIMA-KASHIMA 89/12/06 15HUT START
VLBI EL > 0.0
TITIJIMA GPS EL > 0.0 TECoffset= 28.4
KASHIMA GPS EL > 0.0 TECoffset= 26.2
N= 86 Flag=1000 AVE=120min



鹿島 - 南鳥島

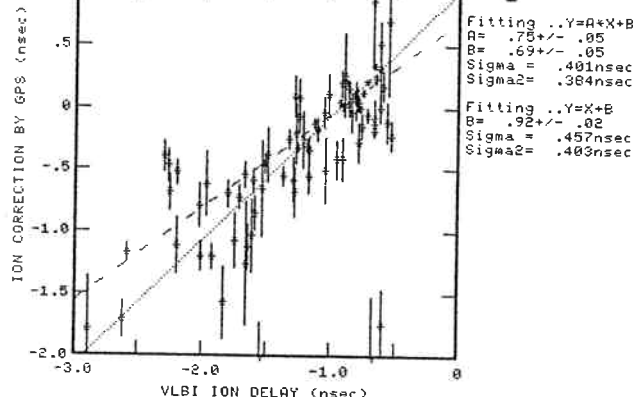
(JUN. 30, 1990)

KASHIMA - MARCUS 90/06/30 00HUT START
VLBI EL > 0.0
KASHIMA GPS EL > 0.0 TECoffset= 59.7
MARCUS GPS EL > 0.0 TECoffset= -11.7
N=139 Flag=1000 AVE=120min

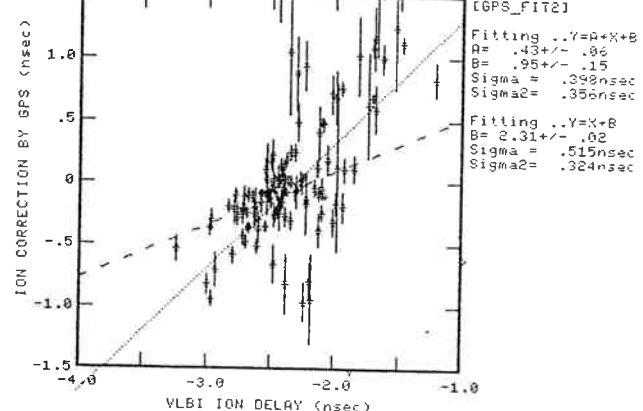


A

TITIJIMA-KASHIMA 89/12/06 15HUT START
VLBI EL > 0.0
TITIJIMA GPS EL > 0.0 TECoffset= 28.4
KASHIMA GPS EL > 0.0 TECoffset= 26.2
N= 88 Flag=1110 AVE=120min

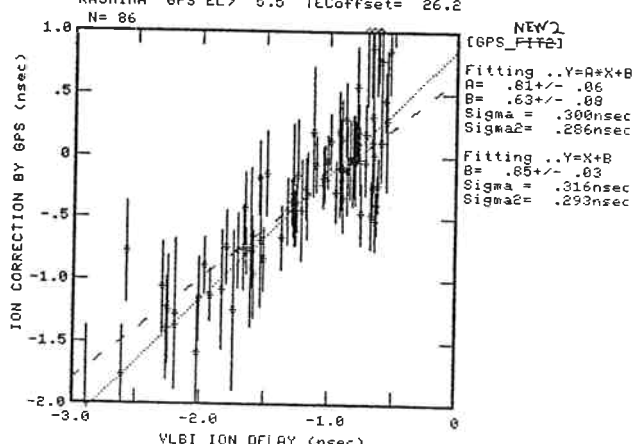


KASHIMA - MARCUS 90/06/30 00HUT START
VLBI EL > 0.0
KASHIMA GPS EL > 0.0 TECoffset= 59.7
MARCUS GPS EL > 0.0 TECoffset= -11.7
N=135 AVE=120min

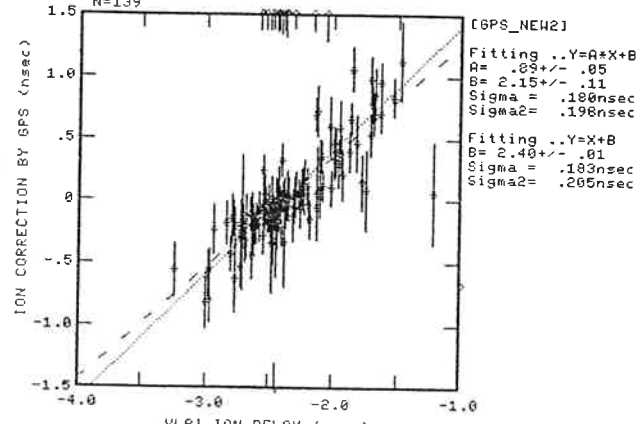


B

TITIJIMA-KASHIMA 89/12/06 15HUT START
VLBI EL > 11.2
TITIJIMA GPS EL > 6.4 TECoffset= 28.4
KASHIMA GPS EL > 5.5 TECoffset= 26.2
N= 86



KASHIMA - MARCUS 90/06/30 00HUT START
VLBI EL > 6.6
KASHIMA GPS EL > 19.4 TECoffset= 59.7
MARCUS GPS EL > 19.0 TECoffset= -11.7
N=139



C

図 1. 各種モデルの比較。上から下へモデル A、B、Cに対応する。左側3枚は鹿島-父島実験(1989.12.6)、右側3枚は鹿島-南鳥島実験(1990.6.30)である。それぞれの図の横軸は2周波VLBI観測で得た電離層遅延(8GHzでの電離層遅延の2局での差)、縦軸はGPS観測で得たTECから計算したVLBI観測遅延に相当する電離層遅延。図中の破線は両者の関係を直線近似した場合を示す。比較のために傾き45°の直線で近似した場合を点線で示す。